

# بررسی خصوصیات بتن خودمتراکم پلیمری

علی حیدری (دانشیار)

فاطمه غفاری\* (دانشجوی کارشناسی ارشد)

دانشکده فنی و مهندسی، دانشگاه شهرکرد

در این نوشتار به بررسی خصوصیات بتن خودمتراکم پلیمری به همراه رزین سنگ مصنوعی که در دو محیط آب و سولفات منیزیم نگهداری شده‌اند، پرداخته شده است. برای این منظور ۱۵ طرح اختلاط مختلف ساخته و در سولفات منیزیم و آب نگهداری شده است. پلیمر مورد استفاده دارای آژینات است، که در دندانپزشکی کاربرد دارد. در این مطالعه نمونه‌ها در ۳ فاز ساخته شده‌اند. فاز اول شامل نمونه‌های با ۱٪ رزین، فاز دوم با ۱/۵٪ رزین و فاز سوم با ۲٪ رزین است. در تمامی فازها از آژینات با درصد ۰/۵٪، ۱/۵٪ و ۲٪ استفاده شده است. مقاومت فشاری و خمشی، و جذب آب نمونه‌ها در سهین مختلف اندازه‌گیری شده است. نتایج پژوهش نشان داده است که استفاده از ۵٪ آژینات و ۲٪ رزین، مقاومت فشاری بتن را در محیط سولفات حدود ۲۵٪ افزایش داده است. همچنین استفاده از ۲٪ آژینات و ۲٪ رزین، مقاومت خمشی نمونه عمل آوری شده در محیط سولفات را ۶۷٪ افزایش و جذب آب را کاهش داده است.

**واژگان کلیدی:** بتن خودمتراکم، پلیمر، آژینات، سولفات منیزیم، رزین سنگ مصنوعی.

heidari@eng.sku.ac.ir  
fateme.gaffari@stu.sku.ac.ir

## ۱. مقدمه

بتن تازه و یا سخت شده در حین ساخت به آن افزوده می‌شوند، نقش به سزایی در پرکنندگی و کاهش نفوذپذیری آن دارند.<sup>[۱]-[۸]</sup> آژینات‌ها<sup>[۹]</sup> دسته‌بی از مواد پلیمری هستند که از آن‌ها می‌توان برای اصلاح لزجت بتن به منظور اصلاح پایداری و پُرکردن خلل و فرج آن استفاده کرد. اساساً کاهش خلل و فرج در آب‌بندکردن بتن بسیار مؤثر است. نتایج نشان می‌دهد که استفاده از آژینات در خاک رس، مقاومت فشاری را از ۲/۲۷٪ به ۲/۲۳٪ افزایش می‌دهد. به عبارتی مقاومت رس ۶۹٪ افزایش می‌یابد. این در حالی است که افزودن فیربر نهایی در رس سبب افزایش ۳٪ درصدی مقاومت فشاری می‌شود، و اما افزودن هر دو این مواد در رس، مقاومت را بهتر می‌کند. در بررسی‌های انجام شده مشاهده شده است که افزودن آژینات، بهبودی در مقاومت خمشی خاک رس ندارد، ولی ترکیب آژینات و ۵٪ فیر پشم سبب افزایش ۳۰٪ درصدی مقاومت فشاری می‌شود.<sup>[۱۰]</sup> در مطالعه‌یی به بررسی استفاده از ژل آژینات به همراه چسب Nopal و Welan در بتن خودمتراکم پرداخته و از آژینات و چسب به عنوان ماده‌ی اصلی در تعیین لزجت بتن خودمتراکم استفاده شده است. نسبت آب به سیمان ۰/۵٪ در بوده و آزمایش‌های جریان اسلامپ، حلقه‌ی جی، و جعبه‌ی ال صورت گرفته است. استفاده از ۵٪ آژینات سبب ایجاد یک توده‌ی جمع شده می‌شود. بنابراین هر چه مقدار آژینات افزایش یابد، انسداد بیشتر می‌شود.<sup>[۱۱]</sup> در این نوشتار برای اولین بار از ترکیب هم‌زمان رزین سنگ مصنوعی به همراه پلیمر آژینات استفاده و خصوصیات بتن تازه و سخت شده در زمان‌های مختلف

بتن از جمله مواد خلل و فرج داری است که منفذ دارد. این منفذ از واکنش شیمیایی بین سیمان و آب ایجاد می‌شوند. حملات شیمیایی از طریق منفذ بتن به داخل آن نفوذ می‌کند و موجب تخریب سازه می‌شود. شرایط آب و هوایی بسیار خوب‌نده، نداشتن آگاهی کافی عوامل اجرایی، ضعف در مراحل ساخت، بهکارگیری مصالح نامرغوب و بی‌کیفیت و... از عوامل مخرب بتن هستند.<sup>[۱۲]</sup> دوام سازه‌های بتنی در محیط اسیدی، در برابر خوردگی در تصفیه‌خانه‌های فاضلاب و کانال‌های فاضلاب رهو از نگرانی‌های مهم در این زمینه به شمار می‌رond.<sup>[۱۳]</sup> نتایج حاصل از تولید بتن خودمتراکم نخستین بار در ژاپن تولید شده است.<sup>[۱۴]</sup> این نوع بتن از نظر فیزیکی و مکانیکی بسیار مناسب بوده است. این بتن سیالیت فوق العادی داشته و به همین دلیل به آن بتن خودمتراکم گفته شده است. در این نوع بتن بدون نیاز به انرژی خارجی (ارتعاش)، تراکم حاصل می‌شود، به طوری که پس از بتن ریزی به صورت یک پارچه باقی می‌ماند و به راحتی در بین ارما تورها حرکت می‌کند. از ویژگی‌های منحصر به فرد بتن خودمتراکم، پرداخت بهتر سطوح و قالب‌ریزی مطلوب‌تر است. کاهش نفوذپذیری به دلیل پُرکردن خلل و فرج توسط ذرات پوری و جدانشدنگی ذرات از ویژگی‌های مهم بتن خودمتراکم است.<sup>[۱۵]-[۱۶]</sup> بتن خودمتراکم خواصی از جمله توانایی پرکنندگی، توانایی عبور، مقاومت در مقابل جاذشدنگی دارد.<sup>[۱۷]</sup> یکی از عوامل مؤثر در کیفیت و دوام بتن خودمتراکم افزودنی‌های استفاده شده در ساخت آن است. افزودنی‌هایی که به منظور ایجاد و یا بهبود خواص

\* نویسنده مسئول

تاریخ: دریافت ۱۶/۲/۱۳۹۳، اصلاحیه ۲/۹/۱۳۹۳، پذیرش ۲۵/۹/۱۳۹۳.

## جدول ۱. ترکیبات شیمیایی سیمان مصرفی.

پارامتر (درصد)	سیمان
SiO <sub>2</sub>	۲۱
Al <sub>2</sub> O <sub>3</sub>	۵۴
Fe <sub>2</sub> O <sub>3</sub>	۲,۹۵
CaO	۶۵
F.Cao	≤ ۱/۳
CL	≤ ۰,۳
MgO	≤ ۱,۶۵
SO <sub>3</sub>	≤ ۲
L.O.I	≤ ۱,۲
Total Alkali	≤ ۲

## جدول ۲. ترکیب‌های موجود آلتزینات.

درصد	ماده
۱۲	سدهیم آژانسیات
۲	روغن پارافینی
۱	رنگ مونوآزو
۶۱	خاک دیاتومه
۱۵	کاسیم سولفات
۲	سدیم سولفات
۲	آلومینیم اکسید
۱	منزیم اکسید
۴	آب

یکی از ترکیبات اصلی آژینیات خاک دیاتومه است. بر طبق استاندارد آمریکا (ASTM C ۶۱۸)، دیاتومه یکی از پوزولان های مناسب است.<sup>[۱۸]</sup> علاوه بر دیاتومه، مواد دیگری در ترکیب آژینیات وجود دارند، که در جدول ۲ آراهه شده است.<sup>[۱۹]</sup>

۵۰. سنگدانه

در این مطالعه از سنگ‌دانه‌های آهکی شکسته شده استفاده شده است. مدل نرمی، درصد جذب آب و ارزش ماسه‌یی ماسه‌یی مصرفی ۲،۸۴ و ۸۷ و درصد جذب آب و بزرگ‌ترین دانه‌یی شن مصرفی ۰/۵ و ۱۲/۵ بوده است.

### ۳. ساخت نمودنها

در این پژوهش ۱۵ طرح اختلاط براساس آین نامه‌ی ACI ساخته شده است، که در جدول ۳، درصد الزینات و رزین آن‌ها ارائه شده است. در تمام طرح‌ها مقدار شن، ماسه، سیمان، و آب ثابت و برابر  $۶۰۰$ ،  $۱۱۰۰$ ،  $۴۱۰$  و  $۱۴۸$  کیلوگرم بر مترمکعب و نسبت آب به سیمان  $۰/۳۶$  بوده است.

در این طرح ها از ۱/۵، ۱، ۰/۵ و ۲ درصد آلزینات و ۱/۵، ۱ و ۲ درصد رزین نسبت به وزن سیمان استفاده شده است. برای هر طرح، ۲۰ نمونه برای اندازهگیری مقاومت فشاری در سینین مختلف ساخته شده است. ۱۰ طرح در محیط آب و ۱۰ طرح دیگر در سولفات مینیزیم نگهداری شده است. در مجموع ۳۰۰ نمونه مکعبی ۱۰ × ۱۰ × ۱۰ سانتی‌متری برای اندازهگیری مقاومت فشاری، ۷، ۲۸، ۵۶ و ۹۰ روژه ساخته شده است.

بررسی شده است. نتایج پژوهش به خوبی بیانگر عملکرد مناسب ترکیب دو ماده‌ی مذکور است. نمونه‌های ساخته شده در دو محیط سولفات‌منیزیم و آب عمل آوری و مقاومت فشاری و خمشی، و جذب آب آن‌ها اندمازه‌گیری شده است. نتایج پژوهش نشان داده است که استفاده از ۵٪ تا ۲ درصد آلزینات باعث افزایش مقاومت فشاری در سنین بالاتر می‌شود. استفاده از ۵٪ آلزینات به همراه ۲٪ رزین به طور متوسط ۲۵٪ مقاومت فشاری را افزایش داده است. همچنین افزودن ۲٪ آلزینات به بن حاوی ۲٪ رزین، سبب کاهش جذب آب آن شده است.

٢. مصالح و مواد مصرفی

مصالح مصرفی در این مطالعه‌ی آزمایشگاهی شامل: سیمان، آب، پودر آذرینات، سنگ‌دانه، و زبرن سنگ مصنوعی، بوده است.

۱۰۲. رزین سنگ مصنوعی

در این پژوهش از فوق روانکننده‌یی با نام رزین سنگ مصنوعی استفاده شده است. رزین سنگ مصنوعی براساس استاندارد ۱ B.D. G-BS ۵۰ ۷۵ part ۱ Type C-۴۹۴ ASTM برای مصرف در بتون آماده، کارخانه‌های بتون پیش‌ساخته، تولیدکنندگان سنگ مصنوعی، سیستم‌های سمنت پلاست و تولید بتون‌های توانمند، که انتظار کسب مقاومت‌های زیاد و عملکرد خوب می‌رود، طراحی شده است.

**D-۱۸ CLIBUILD** با فوق روانکننده‌های متداوی در عمل نقاوت می‌کند. بدین ترتیب که پایه‌ی این محصول پلی‌کربوکسیلیکاتر است و زنجیره‌های جانبی ملکولی نیز دارد. خاصیت عالی پخش‌کنندگی سیمان توسط CLIBUILD D-۱۸ آن را تبدیل به افزودنی بتون یا رزین سمنت پلاست ایده‌آل برای صنایع بتون آماده، تولیدکنندگان سنگ مصنوعی، سیستم سمنت پلاست و بتون پیش‌ساخته کرده است. از جمله ویژگی‌های رزین سنگ مصنوعی عبارت‌اند از: شکل ظاهری آن مایع غلیظ، بی‌رنگ تا زرد کمرنگ، با وزن مخصوص ۱۰۶ گرم در سانتی‌مترمکعب در ۲۰ درجه‌ی سانتی‌گراد و عدد قلایم، آن ۶/۴ است.<sup>[۱۴]</sup>

۲۰۲۔ آپ

آب مصرفی در این آزمایش آب شرب شهرکرد است، که PH آن ۷,۶ مجموع سختی کل، سولفات، و کلر آن به ترتیب ۲۹, ۲۰۵ و ۴۰ میلی گرم بر لیتر است.

۳۰۲

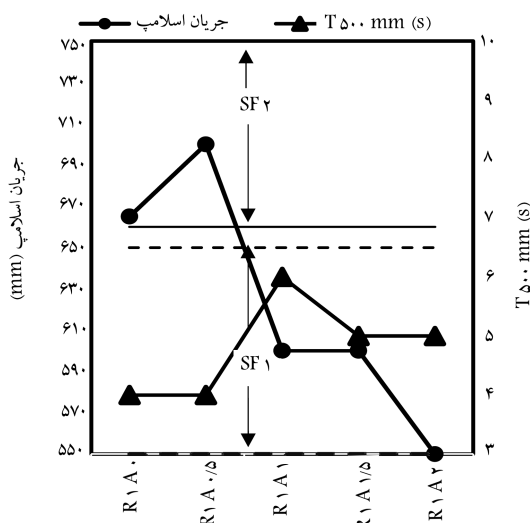
سیمان مصرفی در این آزمایش سیمان تیپ ۱-۴۲۵ شهرکرد است. خواص شیمیایی سیمان مصرفی، در جدول ۱ آرائه شده است.

۴۰۲

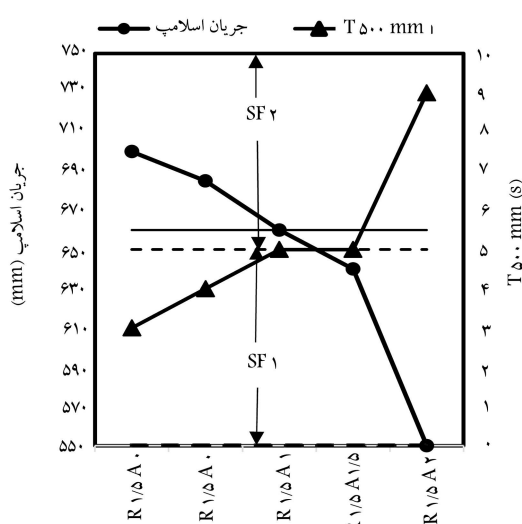
پلیمر مصرفی در این مطالعه، آنرژینات است. برای نخستین بار شیمیدان اسکاتلندی در سال ۱۸۸۱، متوجه ماده‌ی لزجی شد که از یک نوع جلبک قهوه‌یی در بیابی صنعتی فواروی شده بود.<sup>[۱۵]</sup> از آنرژینات در دندان پزشکی، لاستیک‌سازی، رنگ‌سازی و تهییه قطعات و لوازم پلاستیکی مقاوم در برابر حرارت استفاده می‌شود. لزجت محلول آنرژینات با افزایش درجه حرارت کاهش می‌یابد. آنرژینات‌ها خواص ضدخامت‌دهنگی، کشسانی، استحکام، بادارکنندگی، و افراشت، گذاز روی در بار، آب دارند.<sup>[۱۶]</sup>

لازم باشد، لزجت آن کم است. معمولاً از زمان‌های ۳ تا ۷ ثانیه برای کاربردهای مهندسی، و زمان‌های ۲ تا ۵ ثانیه برای نمونه‌سازی استفاده می‌شود. سه رده برای تعیین میزان روانی بتن خودمتراکم وجود دارد، که در مرجعی در سال ۲۰۰۵<sup>[۱۰]</sup> بیان شده‌اند. رده‌ی SF۱ که در آن پخش‌شدگی با قطر ۵۵۰ تا ۶۵۰ میلی‌متر است و برای بتن ریزی از طریق تزریق یا آرماتوربندی سیک کاربرد دارد. رده‌ی SF۲ که در آن قطر پخش‌شدگی بتن ۶۶۰ تا ۷۵۰ میلی‌متر است و برای کارهای معمولی کاربرد دارد. رده‌ی SF۳ نیز که در آن قطر پخش‌شدگی ۷۶۰ تا ۸۵۰ میلی‌متر است و برای بتن ریزی با آرماتوربندی متراکم کاربرد دارد. اگر مقادیر میانگین دو قطر کمتر از ۵۵۰ میلی‌متر باشد، نشان‌دهنده‌ی تنش تسیلیم زیاد و کارپذیری کم بتن و اگر از ۸۵۰ میلی‌متر بیشتر باشد، تنش تسیلیم کم است و احتمال جداشده‌ی وجود دارد. در شکل‌های ۱ تا ۳، نتایج آزمایش جربان اسلام‌پ نشان داده شده است. محور قائم سمت چپ بیان‌گر قطر پخش‌شدگی و محور سمت راست زمان لازم برای رسیدن به قطر ۵۰۰ میلی‌متر را نشان می‌دهد.

در شکل ۱، نتایج جربان اسلام‌پ نمونه‌های فاز اول نشان داده شده است. در



شکل ۱. آزمایش جربان اسلام‌پ در فاز اول.



شکل ۲. آزمایش جربان اسلام‌پ در فاز دوم.

جدول ۳. طرح اختلاط بتن خودمتراکم

فاز	نام طرح	آلریتات	رزین
	R1A°	°	1
	R1A°/5	°/5	1
فاز اول	R1A1	1	1
	R1A1/5	1/5	1
	R1A2	2	1
	R1/5A°	°	1/5
	R1/5A°/5	°/5	1/5
فاز دوم	R1/5A1	1	1/5
	R1/5A1/5	1/5	1/5
	R1/5A2	2	1/5
	R2A°	°	2
	R2A°/5	°/5	2
فاز سوم	R2A1	1	2
	R2A1/5	1/5	2
	R2A2	2	2

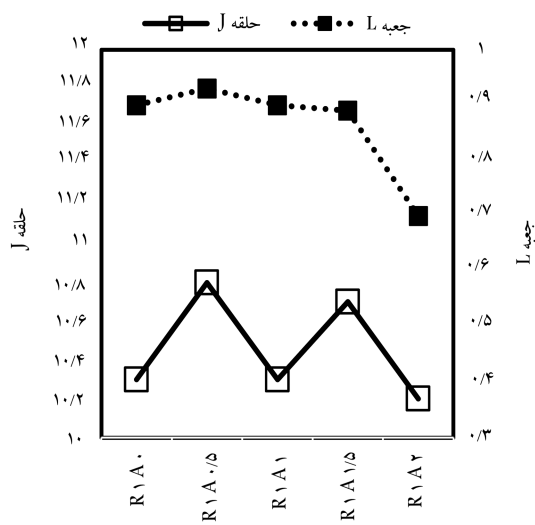
برای اندازه‌گیری مقاومت خمی نمونه‌ها نیاز از نمونه‌های منشوری  $4 \times 4 \times 16$  استفاده شده است، که در سن ۲۸ روزه، مورد آزمایش قرار گرفته‌اند. در هر طرح از ۶ نمونه منشوری استفاده شده است، که در هر دو حیطه نگهداری شده‌اند. در مجموع ۹۰ نمونه‌ی منشوری برای اندازه‌گیری مقاومت خمی ساخته شده است. برای ساخت نمونه‌ها ابتدا شن و ماسه مخلوط و کلیه‌ی سنگ‌دانه‌ها به همراه مقادیری از آب در میکسر مخلوط شده‌اند. سپس سیمان با آذریتات مخلوط و به مخلوط اضافه شده‌است. درنهایت آب باقیمانده با رزین مخلوط و به مخلوط اضافه شده است. مخلوط حاصل به مدت ۵ دقیقه در میکسر ۱۲۰ لیتری مخلوط شده است. پس از ساختن بتن آزمایش‌های روانی بتن، حلقه‌ی J و جعبه‌ی L اندازه‌گیری و سپس ۲۰ نمونه‌ی مکعبی و ۶ نمونه‌ی منشوری ساخته شده است. پس از ۲۴ ساعت نمونه‌ها از قالب خارج و تا زمان انجام آزمایش در محلول سولفات‌منیزیم و آب نگهداری شده‌اند. پس از رسیدن زمان آزمایش، نمونه‌ها از آب و سولفات‌خارج و آزمایش‌های مقاومت فشاری و خمی و نیز جذب آب بر روی آن‌ها انجام شده است.

#### ۴. آزمایش‌های بتن تازه

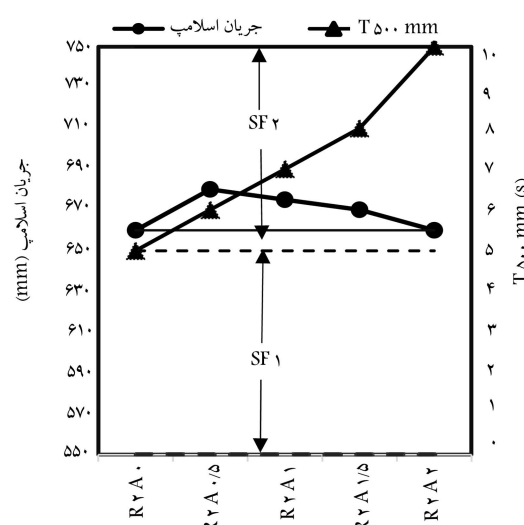
در این پژوهش بر روی بتن خودمتراکم تازه، آزمایش‌های جربان اسلام‌پ، حلقه‌ی J، و جعبه‌ی L انجام شده است.

#### ۱.۴. آزمایش جربان اسلام‌پ

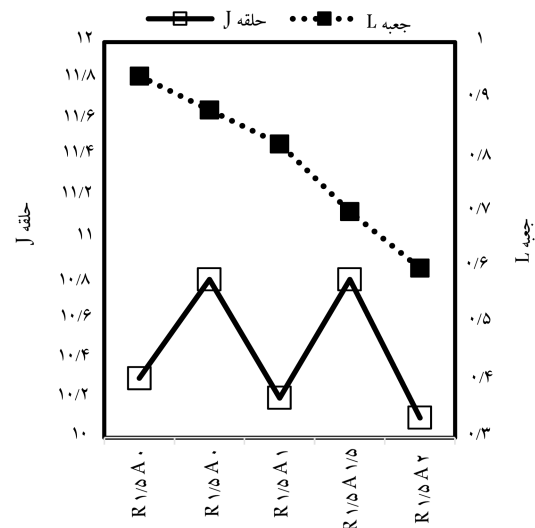
از آزمایش جربان اسلام‌پ برای سنجش میزان تغییر شکل پذیری بتن تحت اثر وزن خود و میزان غلبه بر اصطکاک داخلی استفاده می‌شود. در این آزمایش دو پارامتر زمان رسیدن بتن به شعاع ۵۰۰ میلی‌متر و همچنین میانگین قطر پخش‌شدگی آن پس از توقف کامل اندازه‌گیری می‌شود. اگر برای رسیدن به قطر ۵۰۰ میلی‌متر بیش از ۵ ثانیه زمان لازم باشد، لزجت بتن زیاد است و اگر کمتر از ۱ ثانیه زمان



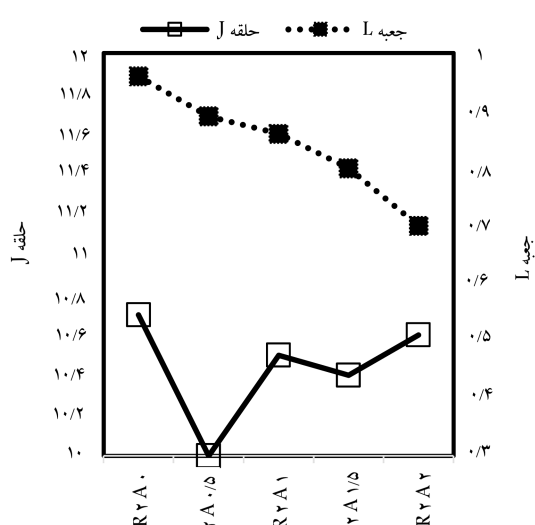
شکل ۴. آزمایش حلقه‌ی J و جعبه‌ی L فاز اول.



شکل ۳. آزمایش جریان اسلامپ در فاز سوم.



شکل ۵. آزمایش حلقه‌ی J و جعبه‌ی L فاز دوم.



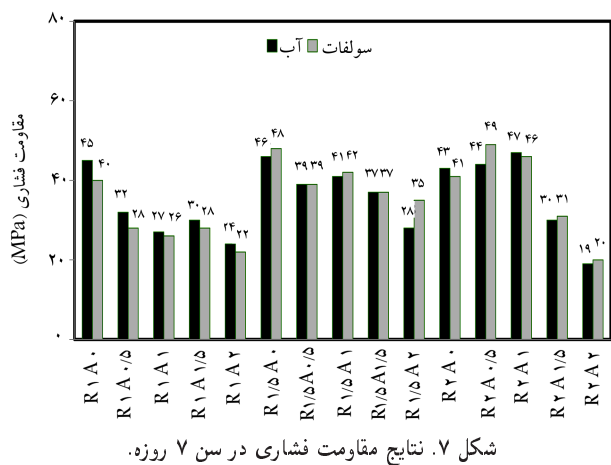
شکل ۶. آزمایش حلقه‌ی J و جعبه‌ی L فاز سوم.

این فاز با افزایش آبزیانات، کارپذیری و قطر پخش شدگی کمتر شده است. نمونه های در شکل ۲، نتایج نمونه های فاز دوم نشان داده شده است. نمونه  $R1/5A^0$  در این فاز نسبت به نمونه  $R1A^0$  در فاز اول کارپذیری بیشتری دارد. نمونه های  $R1/5A^0$  و  $R1/5A^2$  در فاز دوم در رده بندی  $SF1$  و بقیه در رده  $SF2$  قرار دارند. در شکل ۳، نتایج فاز سوم نشان داده شده است. همه نمونه های فاز سوم کارپذیری زیاد و در رده  $SF2$  قرار دارند. در تمامی فازها، نمونه های با  $0.5\%$  آبزیانات، کارپذیری بهتری نسبت به سایر نمونه ها دارند. در شکل های ۱ تا ۳، زمان لازم برای پخش شدگی به قطر  $50\text{ mm}$  میلی متر نیز نشان داده شده است. افزایش زمان مورد نیاز برای رسیدن به پخش شدگی  $50\text{ mm}$  میلی متر نشان دهنده افزایش لزجت و حالت خمیری بتن است.

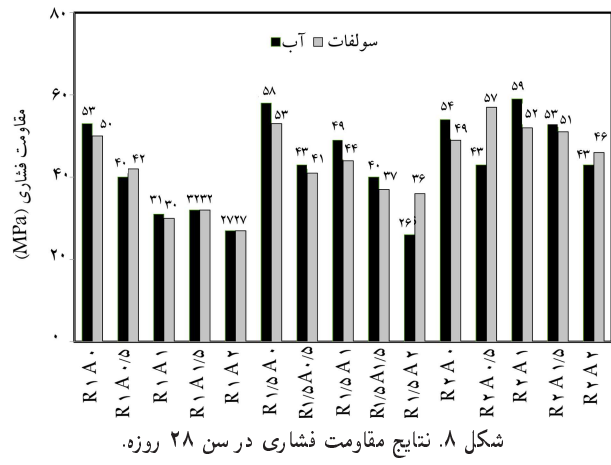
#### ۲.۴. آزمایش حلقه‌ی J

آزمایش دوم که بر روی بتن تازه انجام شده است، آزمایش حلقه‌ی J است. آزمایش حلقه‌ی J نشان دهنده امکان عبور بتن از بین امצעات به خصوص آرماتورهای متراکم موجود در قالب است. در این آزمایش اختلاف ارتفاع بتن داخل و خارج حلقه‌ی J در  $4\text{ mm}$  نقطه اندازه‌گیری شده و میانگین آنها به دست آمده است. هر چه اختلاف ارتفاع بتن موجود در داخل و خارج از آرماتورها بیشتر باشد، توانایی عبور بتن از مواعن کمتر است.<sup>[10]</sup> اگر مقادیر به دست آمده بیشتر از  $10\text{ mm}$  باشد، احتمال بروز پدیده انسداد افزایش می‌یابد. در شکل های ۴ تا ۶ نتایج آزمایش حلقه‌ی J و جعبه‌ی L نشان داده شده است. اعداد روی محور قائم سمت چپ بیانگر نتایج حلقه‌ی J و سمت راست نشان دهنده نتایج جعبه‌ی L است. همان‌طور که از شکل ۴ مشخص است، در فاز اول دو نمونه  $R1A1/5$  و  $R1A^0$  دارای انسداد زیاد هستند.

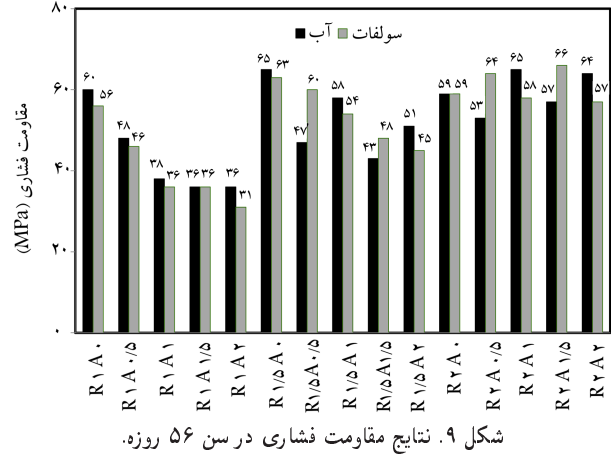
دو نمونه  $R1/5A^0$  و  $R1/5A^1/5$  در فاز دوم که در شکل ۵ نشان داده شده‌اند، دارای انسداد زیاد هستند. شکل ۶ مربوط به فاز سوم است. نمونه  $R2A^0$  که دارای  $2\%$  رزین است، نسبت به نمونه هایی که دارای  $1$  و  $5\%$  درصد رزین هستند، نتایج بهتری را داده‌اند.



شکل ۷. نتایج مقاومت فشاری در سن ۷ روزه.



شکل ۸. نتایج مقاومت فشاری در سن ۲۸ روزه.



شکل ۹. نتایج مقاومت فشاری در سن ۵۶ روزه.

عمل آوری شده در محیط آب ۶۸٪ افزایش مقاومت نشان داده است. همچنین نمونه‌ی R1/۵A که در سن ۷ روزه بیشترین مقاومت را داشته است، در سن ۲۸ روزه، ۸٪ افزایش مقاومت نسبت به سن ۷ روزه داشته است.

در شکل ۹، مقاومت نمونه‌ها در سن ۵۶ روزه نشان داده شده است.

هی  $R1A1/5$  در فاز اول، دو نمونه‌ی  $R1A0/5$  و  $R1A1/5$  در

فاز دوم و نمونه های  $R2A1/5$  و  $R2A0/5$  در فاز سوم افزایش مقاومت و بقیه نمونه ها کاهش مقاومت داشته اند. همچنین نمونه  $R2A1$  در محیط آب و نمونه  $R2A1/5$  در محیط اتانول داشتند مقاومت بیشتری.

و نموده‌ی  $\omega_{\text{IA}}$  در محیط سوهاب بیشترین معاونت را داشته‌است. نموده‌ی

بنابراین می‌توان نتیجه گرفت که برای نمونه با ۵٪ آژینات که در فاز اول و دوم دارای انسداد هستند، با افزایش رزین به ۲٪ این مشکل برطرف شده است. این در حالی است که در سایر نمونه‌های فاز اول و دوم که در آن‌ها انسداد وجود نداشته است، با افزایش رزین در فاز سوم انسداد رخ داده است.

۳.۴. آزمایش جعبه‌ی L

آزمایش سومی که در این پژوهش از آن استفاده شده است، آزمایش جعبه‌ی L است.<sup>[۱۰]</sup> این آزمایش قابلیت پرکنندگی و قابلیت عبور بتن خودمتراکم را نشان می‌دهد. (h<sub>2</sub>/h<sub>1</sub>) نشان‌دهنده اختلاف ارتفاع ابتدا و انتهای مسیر و نیز بیان‌گر میزان عبوریتمن است. هر چه نسبت (h<sub>2</sub>/h<sub>1</sub>) به ۱ نزدیک‌تر باشد، قابلیت پرکنندگی بتن بهتر و تنش تسیلیم آن کمتر است. نتایج آزمایش جعبه‌ی L در شکل‌های ۴ تا ۶ نشان داده شده است. همان‌طور که مشاهده می‌شود، با افزایش آلزینات، انسداد بیشتر شده است. انسداد در طرح‌های R<sub>1</sub>A<sub>2</sub>, R<sub>1</sub>A<sub>5</sub>, R<sub>1</sub>A<sub>10</sub> و R<sub>2</sub>A<sub>10</sub> به دلیل افزایش آلزینات بیشتر شده است.

۵. آزمایش بتن سخت

در این پژوهش بر روی بتن سخت شده، آزمایش های مقاومت فشاری و خمشی، وزن مخصوص، و جذب آب انجام شده است.

## ۱.۵ آزمایش مقاومت فشاری

نمونه‌های بتقی در سالین ۷، ۲۸، ۵۶ و ۹۰ روزه توسط جک استاندارد KN ۲۰۰۰ مورد آزمایش مقاومت فشاری قرار گرفته‌اند. با توجه به اینکه مقاومت نمونه‌ها در محیط سولفات و آب متفاوت بوده است، درصد اختلاف مقاومت فشاری نمونه‌ها در دو محیط مذکور با استفاده از رابطه‌ی ۱ محاسبه شده است:

$$\text{درصد تغییر مقاومت} = [(B - A)/A] * 100 \quad (1)$$

که در آن، A میانگین مقاومت فشاری نمونه‌ی عمل آوری شده در آب، و B میانگین مقاومت فشاری نمونه‌ی عمل آوری شده در سولفات میزیم است. نمونه‌ی R<sub>1A</sub> در فاز اول به طور میانگین در تمامی سنتین تقریباً ۶٪، نمونه‌ی R<sub>1A5A</sub> در فاز دوم در فاز اول به طور میانگین در تمامی سنتین تقریباً ۷٪، نمونه‌ی R<sub>2A</sub> در فاز سوم تقریباً ۷٪ در محیط سولفات نسبت به آب کاهش مقاومت داشته است. از بین نمونه‌های حاوی رزین، نمونه‌ی R<sub>1A5A</sub> کمترین مقدار کاهش مقاومت را داشته است.

در شکل ۷، مقاومت فشاری نمونه‌ها در سن ۷ روزه نشان داده شده است. بیشترین درصد افزایش مقاومت ۷ روزه مربوط به نمونه‌ی R۱ با ۲۵٪ افزایش نسبت به نمونه‌ی عمل آوری شده در محیط آب است. نمونه‌ی R۲A۱ در محیط آب و نمونه‌ی R۲A۰ در محیط سولفات، بیشترین مقاومت فشاری نسبت به سایر نمونه‌ها را دارند.

در شکل ۸، مقاومت فشاری نمونه ها در سن ۲۸ روزه نشان داده شده است. به جزء نمونه های  $R1A^0$ ,  $R1A1/5$ ,  $R1A2$  و  $R2A^0$ ,  $R2A1/5$  در فاز اول، نمونه  $R1/5A2$  در فاز دوم، و نمونه های  $R2A^0$  و  $R2A2$  در فاز سوم، در بقیه نمونه ها کاهش مقاومت در محیط سولفات مشاهده شده است. در محیط آب، نمونه  $R2A1/5$  و در محیط سولفات نمونه  $R2A^0$ ، مقاومت بیشتری نسبت به سایر نمونه ها دارند. نمونه  $R2A^0$  که در محیط سولفات عمل آوری شده است، نسبت به نمونه  $R1/5A2$  مقاومت بیشتری نسبت به نمونه های  $R1A^0$  و  $R1A1/5$  داشته است.

است، به طوری که نمونه‌ی R<sub>2</sub>A<sub>2</sub> دارای جذب آب ۱/۹٪ بوده و کمترین مقدار جذب آب را در بین نمونه‌ها داشته است. همچنین نمونه‌ی R<sub>2</sub>A<sub>0</sub> که بیشترین مقاومت را در بین نمونه‌ها داشته است، جذب آب کمتری نسبت به نمونه‌ی بدون آلزینات (یعنی R<sub>2</sub>A<sub>0</sub>) داشته است.

### ۳.۵ آزمایش مقاومت خمشی

جهت انجام آزمایش مقاومت خمشی، از بارگذاری در وسط تیر، مطابق استاندارد ASTM C ۲۹۳ استفاده شده است.

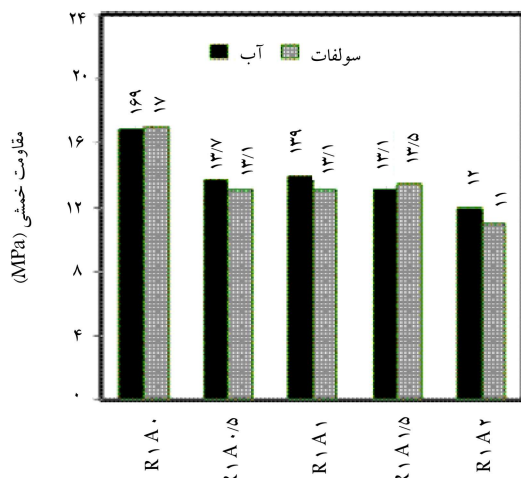
شکل ۱۱، مقاومت خمشی نمونه‌های فاز اول در سن ۲۸ روزه در محیط آب و سولفات را نشان می‌دهد. نمونه‌های R<sub>1</sub>A<sub>0</sub> و R<sub>1</sub>A<sub>1/5</sub> در محیط سولفات به ترتیب ۳ و ۸٪ درصد افزایش مقاومت و نمونه‌های R<sub>1</sub>A<sub>1</sub>، R<sub>1</sub>A<sub>2</sub>، R<sub>1</sub>A<sub>0</sub>/۵ و R<sub>1</sub>A<sub>1/5</sub>/۵ به ترتیب ۷، ۳ و ۸ درصد نسبت به محیط آب کاهش مقاومت را نشان داده‌اند.

شکل ۱۲، مقاومت خمشی نمونه‌های فاز دوم را نشان می‌دهد. تمامی نمونه‌ها در فاز دوم نسبت به محیط آب افزایش مقاومت داشته‌اند. بیشترین افزایش مربوط به نمونه‌ی شاهد است، که ۲۲٪ است. همچنین نمونه‌ی R<sub>1</sub>A<sub>2</sub> نسبت به نمونه‌ی محیط آب ۶/۷٪ افزایش داشته است، که این افزایش سیار قابل توجه است.

شکل ۱۳، مقاومت خمشی نمونه‌های فاز سوم را نشان می‌دهد. نمونه‌ی R<sub>2</sub>A<sub>0</sub> در محیط سولفات ۴٪ افزایش داشته است. با افزودن آلزینات در فاز سوم، کاهش مقاومت خمشی مشاهده شده است.

### ۴.۵ ملاحظات اقتصادی

مرایای زیستمحیطی استفاده از آلزینات به عنوان افزودنی در بتن به این صورت است که با افزودن این ماده، خواص رئولوژیکی بتن بهبود می‌یابد و از طرفی با افزودن یک ماده‌ی طبیعی به بتن در سازه‌های آبی، که اهمیت سلامت آب شرب مهم است، را چهار مخاطره نمی‌سازد. اگرچه تولید این ماده در ایران در حال حاضر



شکل ۱۱. نتایج مقاومت خمشی فاز اول.

در فاز دوم، ۲۸٪ افزایش مقاومت در محیط سولفات نسبت به آب داشته است.

در شکل ۱۰، مقاومت نمونه‌ها در سن ۹۰ روزه نشان داده شده است. در این سن، نمونه‌ی R<sub>1</sub>A<sub>0</sub>/۵ در فاز اول، نمونه‌های R<sub>1</sub>A<sub>0</sub>/۵ و R<sub>1</sub>A<sub>1/5</sub> در فاز دوم، و نمونه‌های R<sub>2</sub>A<sub>0</sub>/۵ و R<sub>2</sub>A<sub>1/5</sub> در فاز سوم در محیط سولفات افزایش مقاومت نشان داده‌اند. در این سن، نمونه‌ی R<sub>2</sub>A<sub>1</sub> در محیط آب و نمونه‌ی R<sub>1</sub>A<sub>2</sub> در فاز دوم ۱۹٪ افزایش مقاومت را نشان داده است. نمونه‌ی R<sub>1</sub>A<sub>0</sub>/۵ در فاز دوم افزایش مقاومت در محیط سولفات نسبت به محیط آب را کسب کرده است.

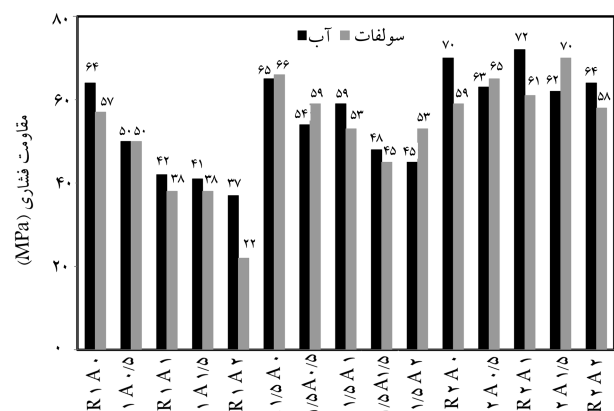
در کل می‌توان گفت که نمونه‌ی R<sub>2</sub>A<sub>0</sub>/۵ در تمامی سنین افزایش مقاومت داشته است، به طوری که میانگین درصد افزایش مقاومت آن در تمام سنین ۲۵٪ بوده است. در فاز سوم با ترتیب ۵/۰٪ آلزینات و ۲٪ رزین، کاهش مقاومت نمونه‌ی بی فقط شامل ۲٪ رزین بوده، جبران شده است. این موضوع بیان گر عملکرد مناسب ترکیب این دو ماده در بتن خودمتراکم است.

### ۲.۵ آزمایش جذب آب

جهت انجام آزمایش جذب آب از استاندارد ASTM C ۶۴۲ استفاده شده است. برای این منظور، ابتدا نمونه‌ها به مدت ۲۴ ساعت در دمای ۱۰۵ درجه‌ی سانتی‌گراد نگهداری و سپس در هوای خشک سرد و دوباره وزن شده‌اند، پس از آن نمونه‌ها به مدت ۲۲ ساعت در آب قرار داده شده و سپس از آب خارج و به صورت اشباع با سطح خشک وزن شده‌اند. درصد جذب نمونه‌ها با استفاده از رابطه‌ی ۲ محاسبه شده است:

$$(2) \quad [(C - D)/D] * ۱۰۰ = \text{درصد جذب آب}$$

که در آن، C وزن اشباع با سطح خشک، و D وزن خشک نمونه‌هاست. میزان جذب آب می‌تواند پارامتری برای اندازه‌گیری دوام بتن باشد. در جدول ۴ مشاهده می‌شود که در نمونه‌های فاز سوم با افزایش مقدار آلزینات، مقدار جذب آب کاهش یافته



شکل ۱۰. نتایج مقاومت فشاری در سن ۹۰ روزه.

جدول ۴. نتایج درصد جذب آب.

نام طرح	R <sub>2</sub> A <sub>2</sub>	R <sub>2</sub> A <sub>1/5</sub>	R <sub>2</sub> A <sub>1</sub>	R <sub>2</sub> A <sub>0</sub> /۵	R <sub>2</sub> A <sub>0</sub>	R <sub>1</sub> A <sub>2</sub>	R <sub>1</sub> A <sub>1/5</sub>	R <sub>1</sub> A <sub>1</sub>	R <sub>1</sub> A <sub>0</sub> /۵	R <sub>1</sub> A <sub>0</sub>	جذب آب
۱/۹	۲/۲	۲/۲	۲/۵	۲/۸	۲/۴	۲/۱	۳/۶	۳/۳	۲/۹	۴/۸	۴/۶

## ۶. نتیجه‌گیری

در این مطالعه‌ی آزمایشگاهی، در ابتدا خواص رزین سنتگ مصنوعی و آلزینات بیان شده و سپس نمونه‌های بتونی با درصد های مختلف مختلط رزین و آلزینات ساخته شده و در دو محیط سولفات و محیط معمولی جهت آزمایش‌های بتون ساخت شده مورد آزمایش قرار گرفته‌اند، که نتایج حاصل از آزمایش‌های مذکور به این شرح است:

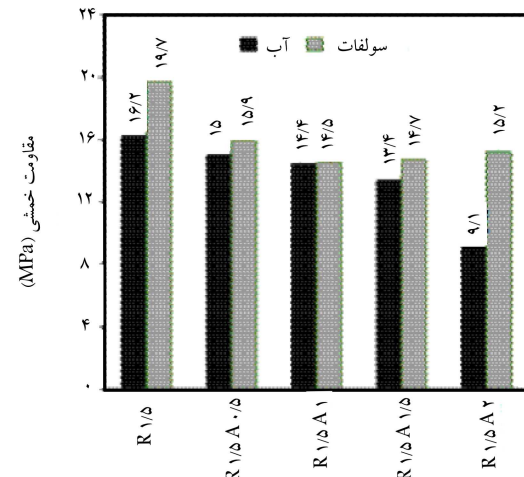
۱. یکی از ترکیبات اصلی آلزینات، خاک دیاتومه است. دیاتومه یکی از پوزولان‌های مناسب است، که مانند فیلر عمل می‌کند. با افزایش مقدار آلزینات، کارپذیری بتون کاهش باقته است، که به دلیل وجود خاک دیاتومه در آلزینات بوده است. در نمونه‌های حاوی ۲٪ آلزینات، کاهش کارپذیری شده است.

۲. هر چه مقدار آلزینات افزایش می‌یابد، کارپذیری و پخش‌شدگی کمتر می‌شود. کاهش روانی به دلیل وجود خاصیت پرکنندگی آلزینات است. در درصد های بالاتر رزین، این خاصیت کاهش روانی جبران می‌شود و بتون روانی زیادی پیدا می‌کند.

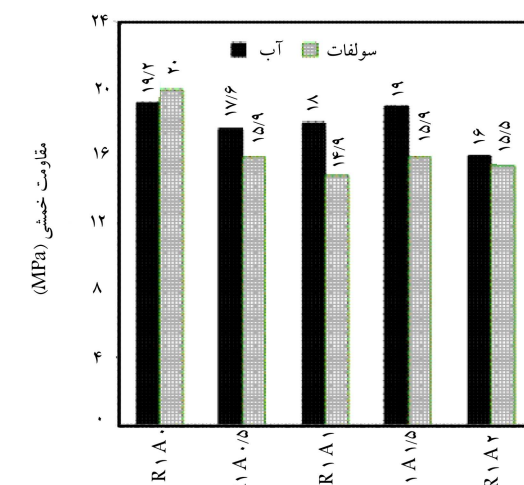
۳. آفت مقاومت فشاری نمونه‌های ساخته شده با ۱۵٪ رزین در محیط سولفات نسبت به محیط آب بسیار کمتر است. هر چه مقدار آلزینات و رزین افزایش می‌یابد، اثرگذاری سولفات کمتر می‌شود و درصد ناچیزی آفت مشاهده می‌شود. مقاومت رزین در مقادیر بالاتر اثرگذارتر است و با ترکیب با آلزینات سبب افزایش و یا کاهش ناچیز مقاومت می‌شود. عملکرد بالای رزین در مقادیر بالاتر است. در آزمایش دوام مقاومت فشاری در محیط سولفات، نمونه‌ها در سنین اولیه افزایش مقاومت دارند، ولی در درازمدت مقاومتشان به دلیل تأثیر سولفات کاهش می‌یابد.

۴. جذب آب نمونه‌ها به دلیل خاصیت پرکنندگی و همچنین وجود پوزولان دیاتومه سبب کاهش آن می‌شود. در مقادیر بالای رزین، آلزینات وارد عمل می‌شود و روان‌کننده سبب پراکنده شدن ذرات در داخل بتون و نیز به دست آمدن یک جسم توپر و پرشدن خلل و فرج می‌شود، که تمامی عوامل مذکور سبب کاهش جذب آب در درصد های بالاتر رزین و آلزینات می‌شود.

۵. عملکرد آلزینات و رزین در برابر مقاومت خشمی بسیار بالاست، به طوری که نمونه‌ی R<sub>2</sub>A<sub>0</sub>/۵ به طور متوسط ۲۵/۵٪ افزایش مقاومت در محیط سولفات داشته است. این نمونه در محیط سولفاتی ۱۸٪ افزایش مقاومت فشاری و ۶۷٪ مقاومت خشمی داشته است. درصد بهینه‌ی رزین در مقاومت خشمی ۱۵٪ است. تمامی نمونه‌های ساخته شده با ۱۵٪ رزین، افزایش مقاومت خشمی دارند.



شکل ۱۲. نتایج مقاومت خشمی فاز دوم.



شکل ۱۳. نتایج مقاومت خشمی فاز سوم.

فقط برای امور پژوهشی است و قیمت نسبتاً بالایی دارد، ولی در صورت استفاده در یک سازه می‌توان برخی از عناصر این ماده را تغییر داد تا یک صرفه‌ی اقتصادی پیدا کند. از طرفی اصلاح خصوصیاتی همچون لزجت، روانی، و جذب آب باین سبب می‌شود که در صورت استفاده در یک سازه از هزینه‌های اولیه کاست و با توجه به مقاومت بالا در محیط سولفات از هزینه‌های تعمیر و نگهداری سازه کاسته می‌شود. لذا تولید انبوه این ماده با هزینه‌یی به مراتب کمتر، باعث کاهش هزینه‌ها در پروژه‌های بزرگ‌تر می‌شود.

## منابع (References)

1. Rozière, E., Loukili, A., El Hachem, R. and Grondin, F. "Durability of concrete exposed to leaching and external sulphate attacks", *J. Cem. Con. Res.*, **39**(12), pp. 1188-1198 (2009).
2. Okamura, H. and Ouchi, M. "Self-compacting concrete", *J. Advan. Concr. Tech.*, **1**(1), pp. 5-15 (2003).
3. Feys, D., Schutter, G.D., Verhoeven, R. and Khayat. K.H. "Similarities and differences of pumping conventional and self-compacting concrete", *Design, Production and Placement of Self-Consolidating Concrete RILEM Bookseries*, **1**, pp. 153-162 (2010)
4. Feys, D. "Interactions between rheological properties and pumping of self-compacting concrete", Ph.D. Thesis, Ghent University, Ghent (2009).

5. Beitzel, H. and Beitzel. M. "Pump application for self-compacting concrete under extreme conditions", *Proc. of the 3rd North-American Conf. on the Design and Use of Self-Consolidating Concrete*, Chicago (2008).
6. Bartos, P.J.M. and Grauers M. "Self-compacting concrete", *Concr.*, **33**, pp. 9-13 (1999).
7. Wallevik, O.H. "Rheology- a scientific approach to develop self-compacting concrete", *Proc. of the 3rd Int. Symp. On Self-Compacting Concrete*, Reykjavik, pp. 23-31 (2003).
8. Poppe, A.M. and Schutter, G.D. "Cement hydration in the presence of high filler contents", *Cem. Concr. Res.*, **35**(12), pp. 2290-2299 (2005).
9. Assie, S., Escadeillas, G. and Waller, V. "Estimates of self-compacting concrete potential durability", *J. Cons. Build. Mater.*, **21**(10), pp. 1909-1917 (2007).
10. Xie, Y., Liu, B., Yin, J. and Zhou, SH. "Optimum mix parameters of high-strength self-compacting Cconcrete with ultrapulverized fly ash", *Cem. Concr. Res.*, **32**(2002), pp. 477-480 (2001).
11. León-Martínez, F.M., de J. Cano-Barrita, P.F., Lagunez-Rivera, L. and Medina-Torres, L. "Study of nopal mucilage and marine brown algae extract as viscosity-enhancing admixtures for cement based materials", *Constr. Build. Mater.*, **53**, pp. 190-202 (2014).
12. Galán, M.C., Rivera, G.C. and Petric, J. "Clay-based composite stabilized with natural polymer and fibre", *Construction and building Materials*, **24**(8), pp. 1462-1468 (2010).
13. León-Martínez, F.M., Cano-Barrita, J., Lagunez-Rivera, L. and Medina-Torres, L. "Study of nopal mucilage and marine brown algae extract as viscosity-enhancing admixtures for cement based materials", *Construction and Building Materials*, **53**, pp. 190-202 (2014).
14. Bonyan Kala Chemie CO. Manufacturer of Alkyd Resins, Unsaturated Polyester Resins a Dryers, Website Accessed <http://www.bonyankala.com> (2014).
15. Stanford, E.C.C. "New substance obtained from some of the commoner species of marine algae", *Algin Chem News*, **47**, pp. 257-254 (1983).
16. Haug, A., Larsen, B. and Smidsrod, O. "Alkaline degradation of alginate", *Acta Chem. Scand.*, **212**, pp. 2859-2870 (1967).
17. Pathak, T.S., Kim, J.S., Lee, S.J., Baek, D.I. and Paeng, K.L. "Preparation of alginic acid and metal alginate from algae and their comparative study", *Poly. Env.*, **16**(3), pp. 198-204 (2008).
18. ASTM C 618, *Standard Specification for Coal Fly Ash and Raw or Calcined Natural Pozzolan for Use in Concrete*, Standards & Publications (2014).
19. Steginsky, C.A., Beale, J.M. and Floss, H.G. "Structural determination of alginic acid and the effect of calcium binding as determined by high-field NMR", *Carb. Res.*, **225**(1), pp. 11-20 (1992).